



Reporte Semanal de Clima Espacial

<https://www.sciesmex.unam.mx/blog/category/reporte-semanal-de-clima-espacial/>



Reporte semanal: el 14 al 20 de julio de 2023

LANCE

Servicio Clima Espacial

CONDICIONES DEL SOL

Regiones Activas (RA): 10.

Hoyos coronales: 3. Dos en la zona centro-norte del disco solar y otro en la zona centro-oeste

Fulguraciones solares: 9 clase M.

Eyecciones de masa coronal: Se detectaron 73 EMC y 12 tipo halo.

CONDICIONES DEL MEDIO INTERPLANETARIO

Se observaron 3 EMC, el 14, 16 y 20 de julio.

CONDICIONES DE MAGNETÓSFERA

Índice K local: se registró una tormenta geomagnética G1 el 14 y G2 los días 16 y 17, provocada por una región de en el viento solar con componente Bz sur intermitente

Índice Dst: Se registró actividad geomagnética moderada en los índices Dst y ΔH el 14 y del 16 al 18 de julio.

CONDICIONES DE LA IONOSFERA

Se observaron valores disminuidos de TEC (el 13 y 17 de julio). Estas variaciones no son significativas.

CONDICIONES DE RAYOS CÓSMICOS SOBRE MÉXICO

Se registró un decrecimiento Forbush que inició el 14 de julio a las 20 hrs TU y terminó el 20 a las 19 hrs TU.

ESTALLIDOS DE RADIO

Se registraron 25 estallidos de radio Tipo III, 11 tipo V, 6 tipo II y 1 Tipo IV.

Reporte semanal: del 14 al 20 de julio de 2023

LANCE

Servicio Clima Espacial

PRONÓSTICOS

Viento solar:

- Se pronostica una velocidad del viento solar lento de 400 km/s. Se pronostica el arribo del choque producido por una EMC para el día 21 de julio a las 06:30 hora local del centro de México.

Fulguraciones solares:

- Probabilidad moderada de fulguraciones clase X.

Tormentas ionosféricas:

- Baja probabilidad de perturbaciones ionosféricas severas.

Tormentas geomagnéticas:

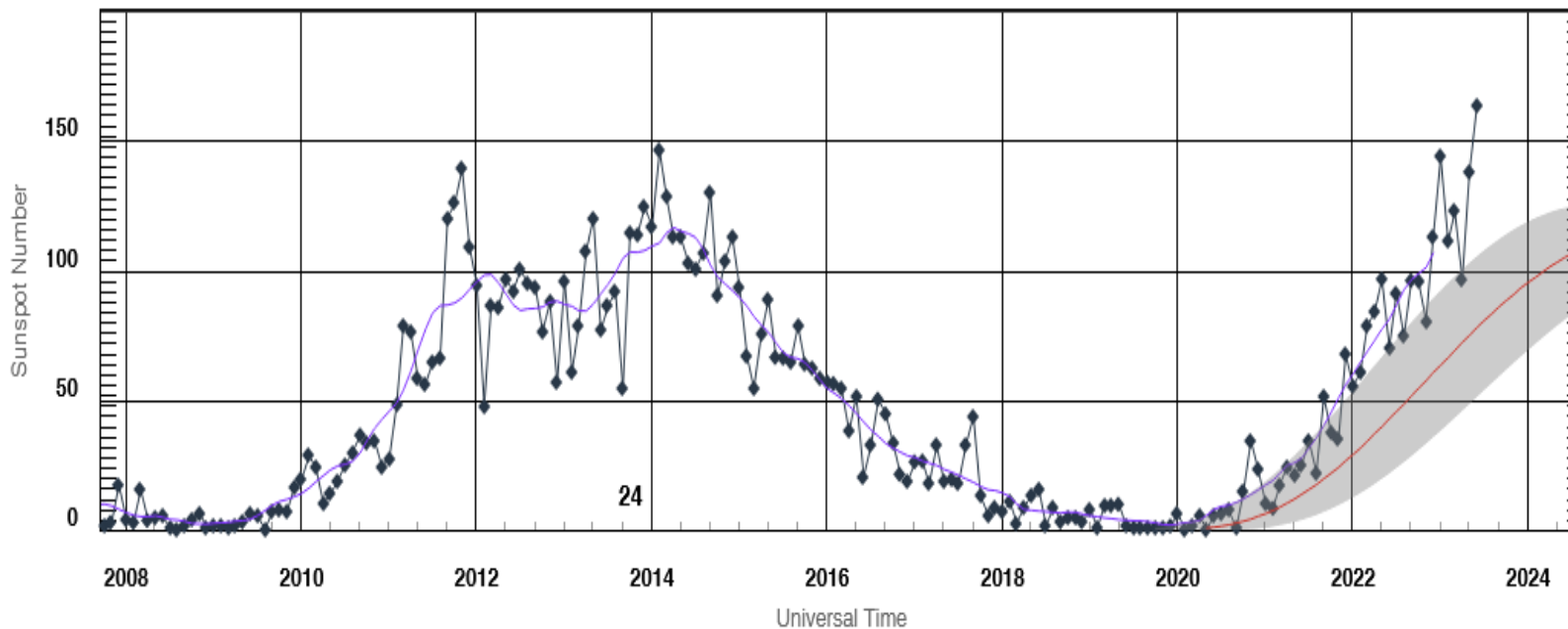
- Baja probabilidad de perturbaciones geomagnéticas severas.
- Baja probabilidad de actividad geomagnética.

Tormentas de radiación solar:

- Baja probabilidad de afectación por la entrada de una EMC.

Ciclo de manchas solares y la actividad solar

ISES Solar Cycle Sunspot Number Progression



La figura muestra el conteo del número de manchas solares desde enero del 2008.

Entre más manchas solares presente el Sol, es mayor la posibilidad de que ocurra una tormenta solar.

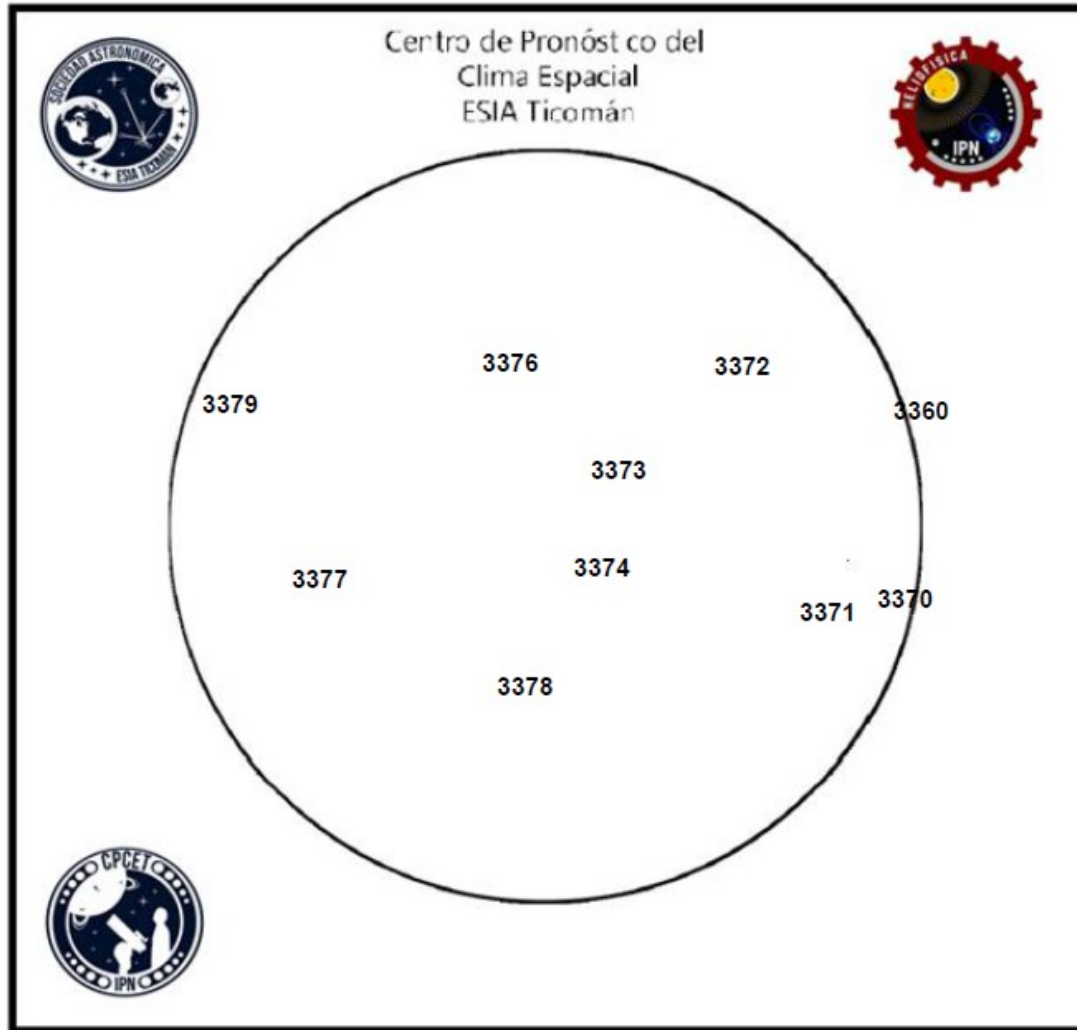
Nos encontramos en la fase ascendente del ciclo solar 25 con una creciente actividad solar.

<http://www.swpc.noaa.gov/products/solar-cycle-progression>

Número de Wolf

LANCE

Laboratorio Nacional
de Clima Espacial



El número de Wolf es un valor que permite evaluar numéricamente la actividad solar mediante el conteo de manchas solares ubicadas sobre la superficie del Sol. Este se calcula a partir de la fórmula desarrollada por Rudolf Wolf en 1849:

$$W=k(10*G+F)$$

Donde:

K= Es un factor de corrección que depende de cada observatorio.

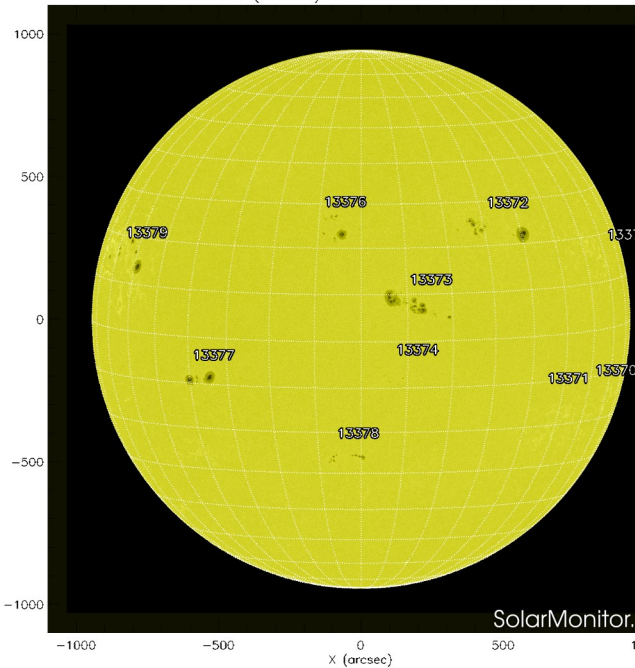
F= Cantidad total de manchas solares visibles sobre el disco solar.

G= Cantidad de grupos manchas solares visibles sobre el disco solar.

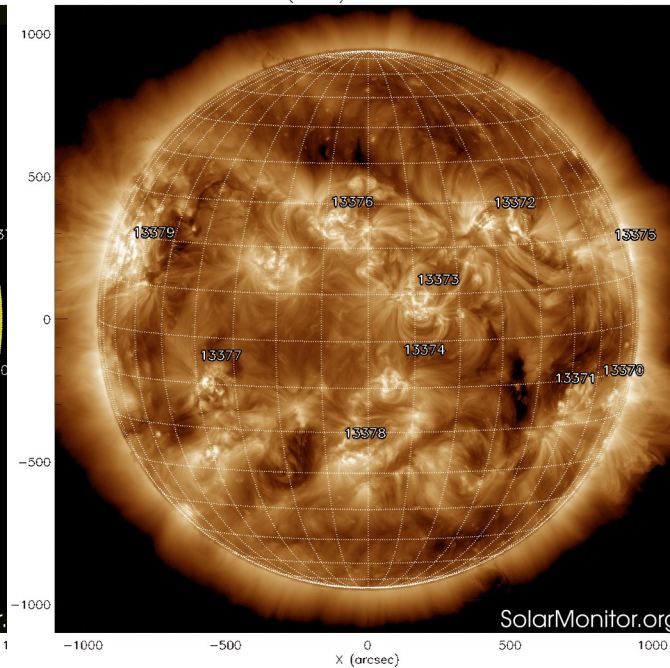
Número de Wolf máximo esta semana: **193**

Durante esta semana se pudieron observar diez regiones activas en la superficie del Sol. Estas fueron la 3370, 3371, 3372, 3373, 3374, 3375, 3376, 3377, 3378, y 3379 con coordenadas S15W71, S15W48, N24W33, N08W11, S07W08, N13W89, N25E07, S09E38, S26E04 y N16E61 respectivamente.

SDO HMI (6173 Å) 20-Jul-2023 18:46:45.900



SDO AIA Fe XII (193 Å) 20-Jul-2023 19:24:16.843



El Sol visto en distintas longitudes de onda que muestran las diferentes capas solares.

A la izquierda: La fotosfera es la zona “superficial” del Sol, donde aparecen las manchas solares. Regiones oscuras formadas por material mas frío que sus alrededores y que contienen intensos campos magnéticos. Las manchas solares están relacionadas con la actividad solar.

A la derecha: El Sol en rayos X (193 Å). Los hoyos coronales (regiones oscuras) son regiones de campo magnético solar localmente abierto. Son fuente de las corrientes de viento solar rápido

<https://solarmonitor.org/>

Las imágenes mas recientes del satélite artificial SDO, muestran 10 regiones activas y 3 hoyos coronales, dos en la zona centro-norte del disco solar y otro en la zona centro-oeste.

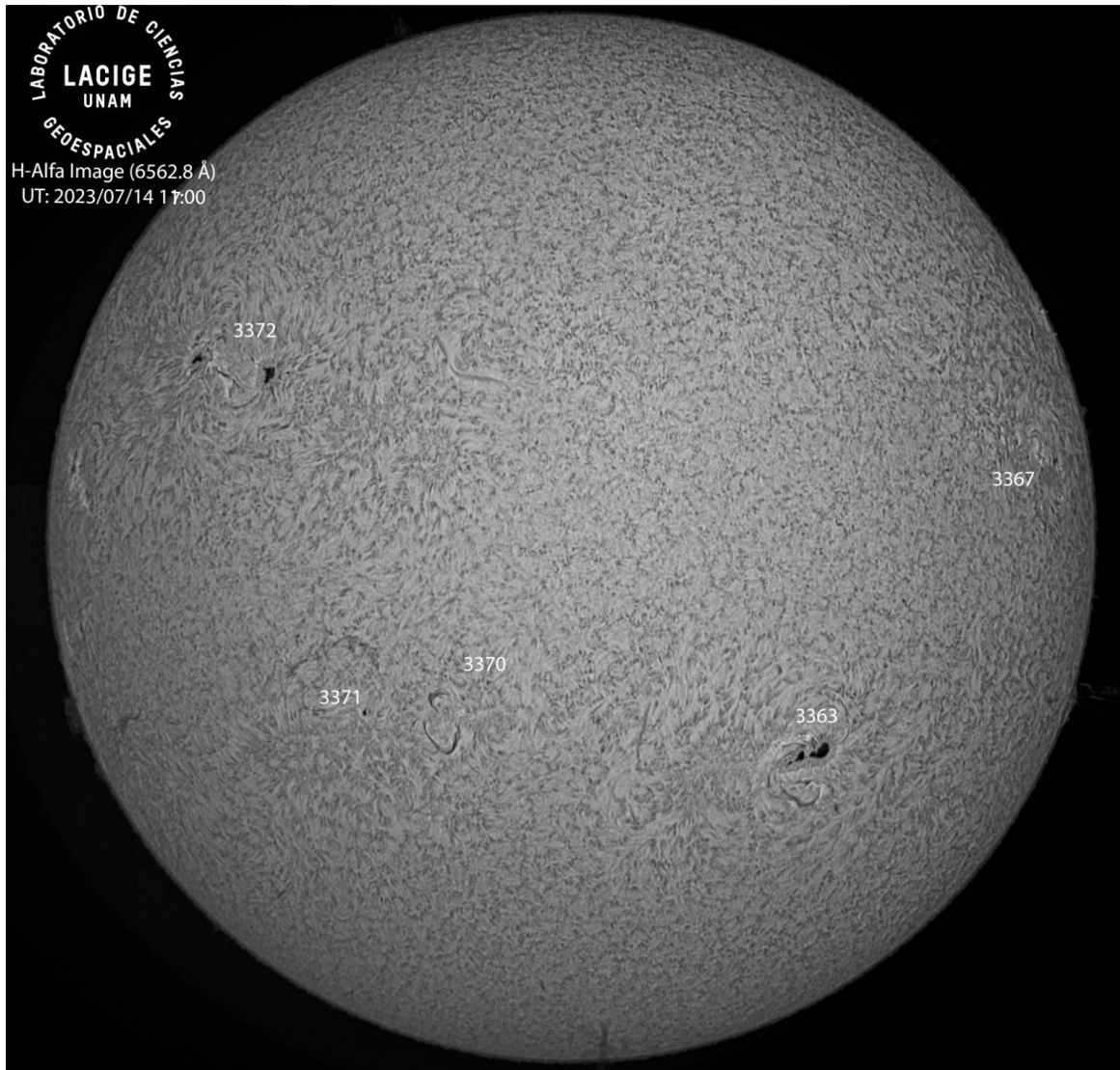
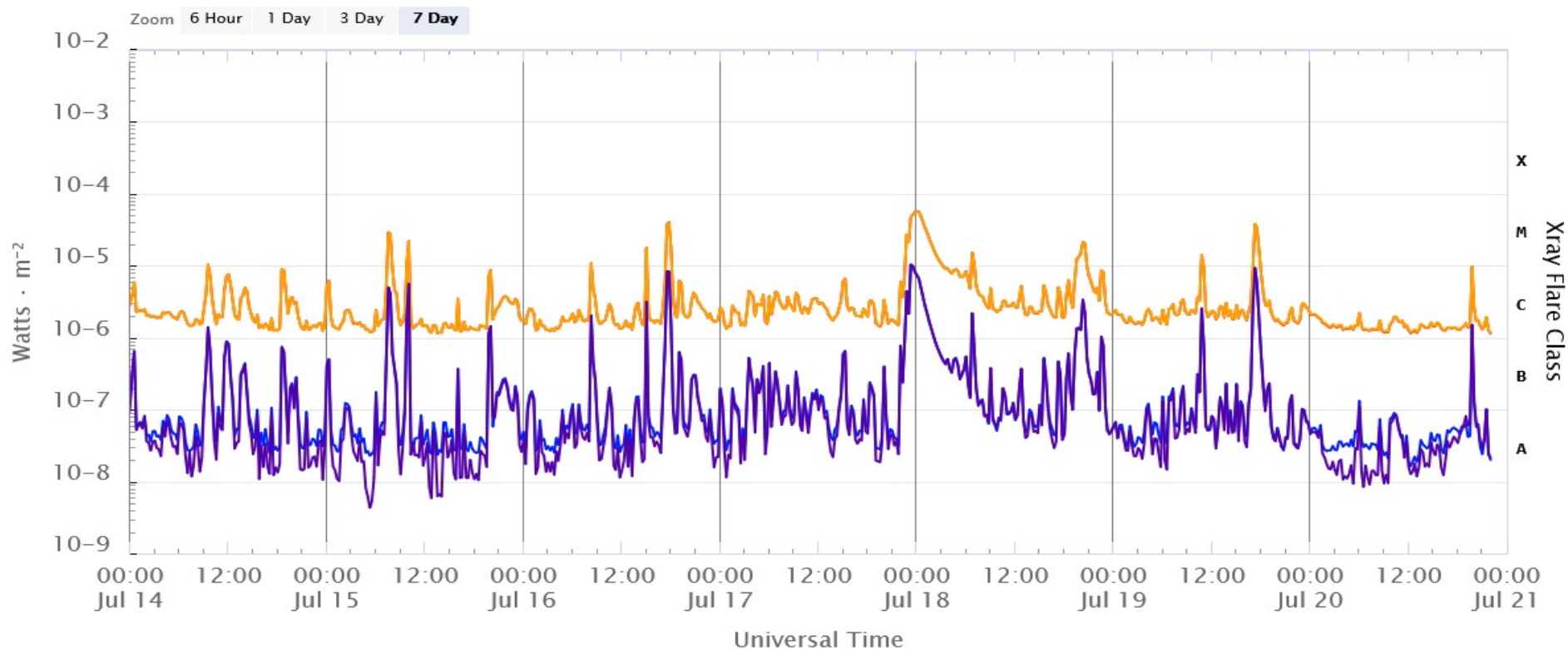


Imagen de la cromosfera solar en H-Alpha (6562.8 Å) para el día 14/07/2023, 17:00 hrs UT.

La imagen muestra un acercamiento a las regiones activas 3363, 3367, 3370, 3371 y 3372 observadas para esta fecha en el disco solar.

Actividad solar: Fulguraciones solares

GOES X-Ray Flux (1-minute data)



Updated 2023-07-20 22:07 UTC

Space Weather Prediction Center

La imagen muestra el flujo de rayos X registrados durante la última semana. Se detectaron 9 fulguraciones clase M en la semana de análisis.

www.swpc.noaa.gov/products/goes-x-ray-flux

Medio interplanetario: El viento solar cercano a la Tierra

Modelo numérico WSA-ENLIL.

Al día de hoy 20 de julio de 2023, el modelo pronostica el arribo de corrientes de viento solar lento con que velocidades de aproximadamente 400 km/s. Pronostica el arribo del choque producido por una EMC para el día 21 de julio a las 06:30 hora local del centro de México.

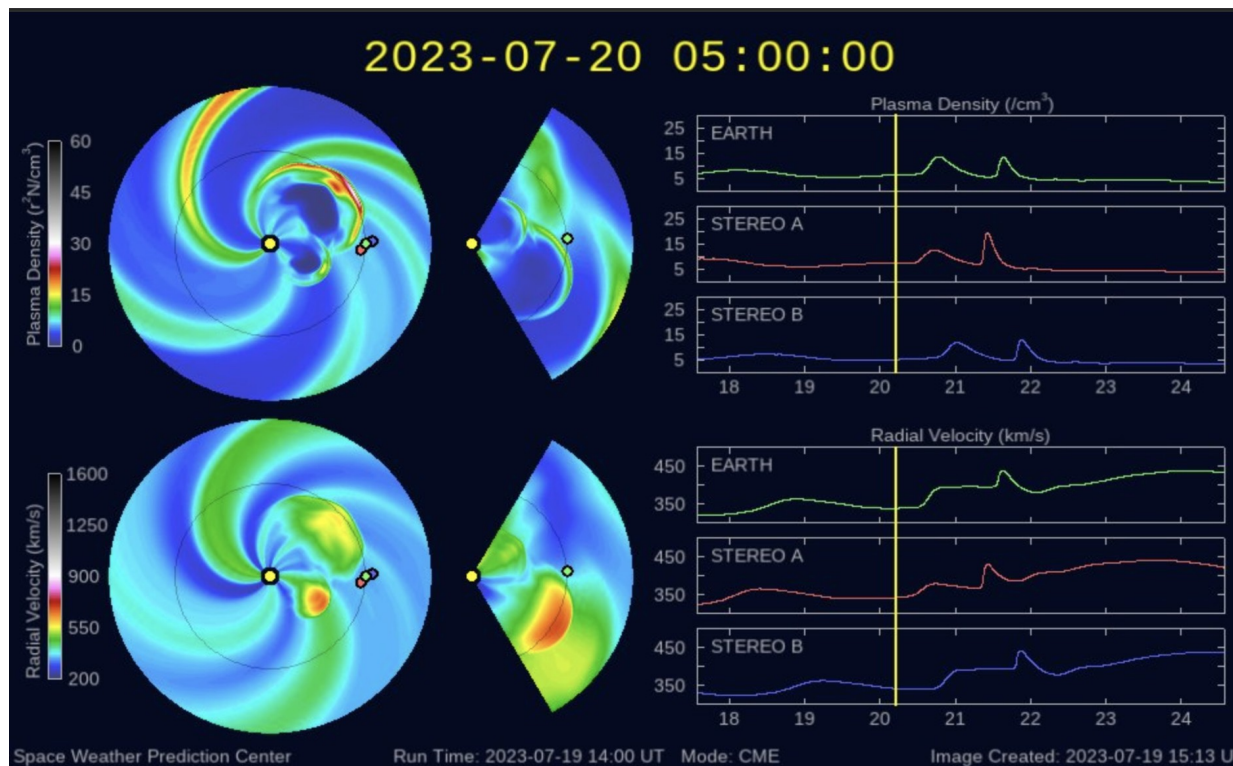


Imagen: <http://www.swpc.noaa.gov/products/wsa-enlil-solar-wind-prediction>

Medio interplanetario: Región de interacción de viento solar

Esta semana se registraron tres eyecciones de masa coronal (EMCs) (ver áreas sombreadas en amarillo en imagen 2). Dichas EMCs se generaron después del rompimiento de un filamento en las regiones activas AR13363 y AR13370 (ver AR 13363 y 13370 en el hemisferio sur en imagen 1). La EMC 2 generó actividad geomagnética: Kp= 5 y Dst= -59 nT.

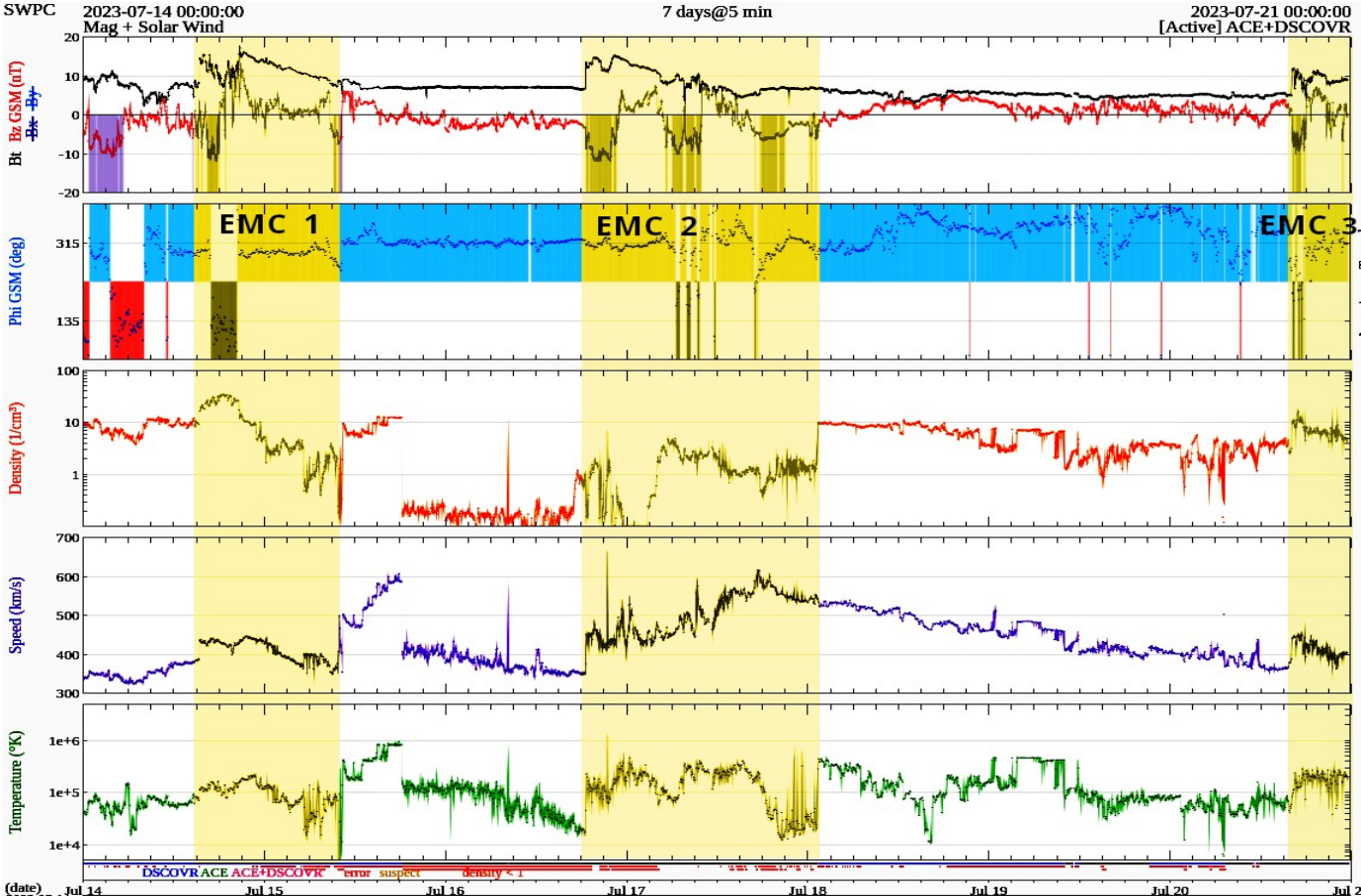
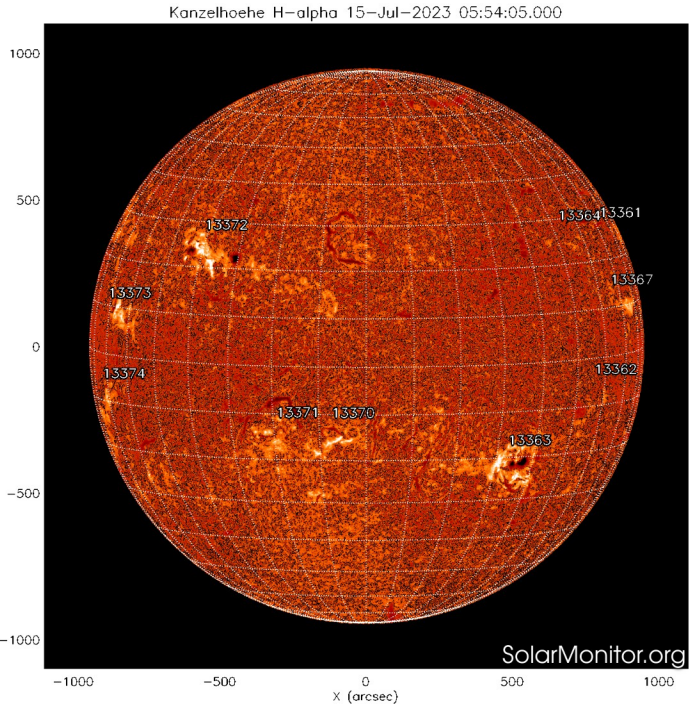


Imagen 1: <https://sdo.gsfc.nasa.gov/>

Imagen 2: <http://www.swpc.noaa.gov/products/real-time-solar-wind>

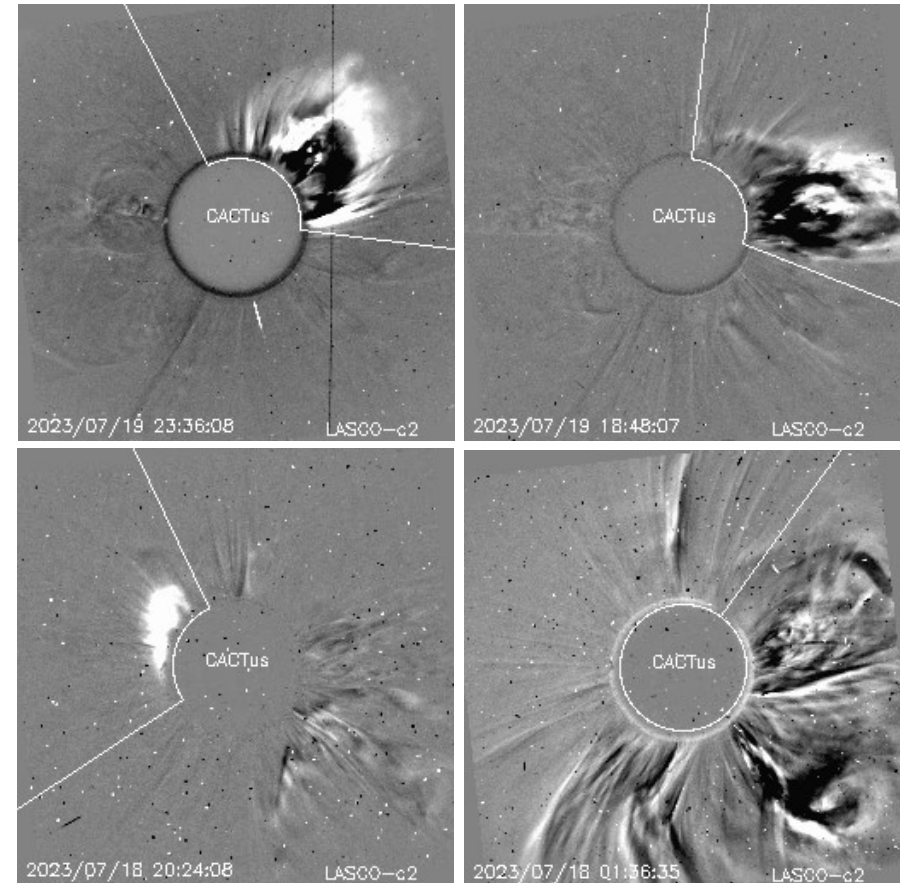
Actividad solar: Eyecciones de Masa Coronal

Se registraron 73 EMCs.
12 tipo halo (ancho > 90°)

Mediciones de salida de EMC de mayor
dimensión y velocidad de esta semana:

Fecha, tiempo inicial, velocidad promedio (km/s)

2023/07/19	23:12	868
2023/07/19	17:36	431
2023/07/18	20:12	589
2023/07/17	23:15	1008



- Eyecciones observadas por SOHO/LASCO con cálculos del sitio CACTUS.

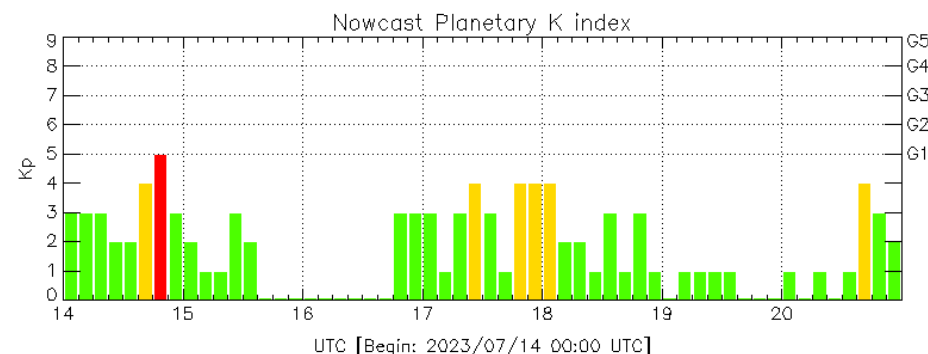
Crédito, imágenes y valores estimados:
SOHO, the SOLAR & Heliospheric Observatory
<https://www.bis.sidc.be/cactus/>

Perturbaciones geomagnéticas: Índices geomagnéticos Kp y Kmex

Se registraron valores de tormenta geomagnética G1 y G2 en los índices Kp (K = 5) y Kmex (K = 6) respectivamente, el 14 y del 16 al 18 de julio. La actividad geomagnética fue provocada por corrientes de viento solar con componente Bz sur intermitente que impactaron el ambiente terrestre desde el 14 de julio.

NOTA: El cálculo del índice Kmex se realiza por la estación geomagnética de Coeneo, Mich. Los datos son experimentales y no se deben de tomar como definitivos.

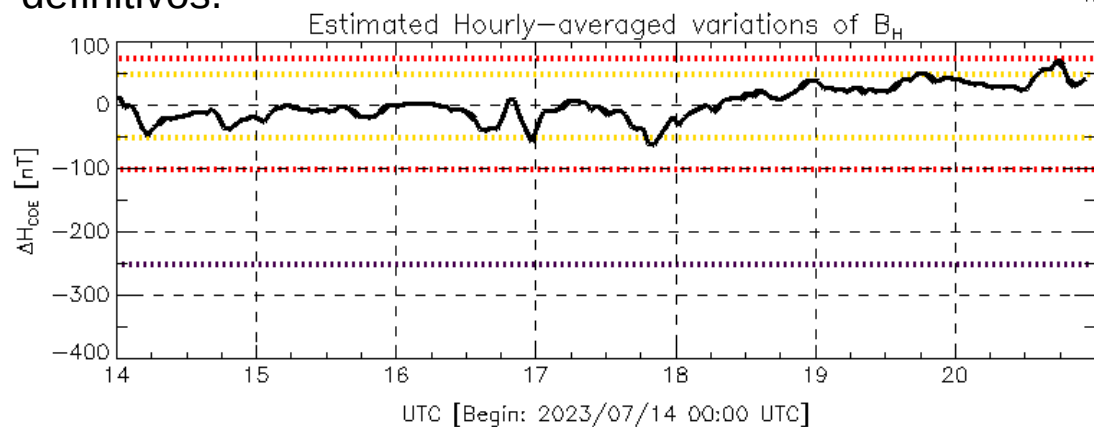
Datos: www.gfz-potsdam.de/en/kp-index/



Perturbaciones geomagnéticas: Índice Dst y ΔH

Se registró actividad geomagnética moderada en los índices Dst y ΔH respectivamente el 14 y del 16 al 18 de julio. La actividad geomagnética fue provocada por corrientes de viento solar con componente Bz sur intermitente que impactaron el ambiente terrestre desde el 14 de julio.

NOTA: El cálculo del índice ΔH se realiza por la estación geomagnética de Coeneo, Mich. Los datos son experimentales y no se deben de tomar como definitivos.



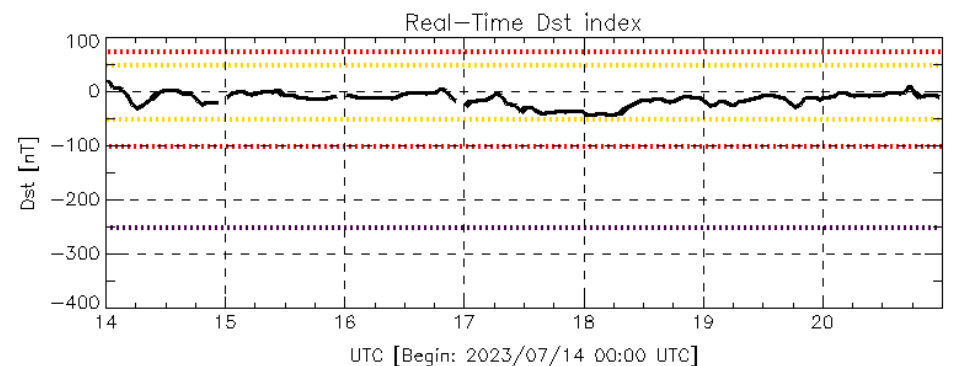
Color Code: weak, moderate, intense, extreme, data not available.

COE: Coeneo Geomagnetic Station (LAT 19.81, LON -101.69)

LANC/SCIESMEX - Morelia, Mich., MX

Updated: 2023/07/20-22:59 UTC

Datos: wdc.kugi.kyoto-u.ac.jp/dst_realtime/



Color Code: weak, moderate, intense, extreme, data not available.

Dst: by World Data Center for Geomagnetism, Kyoto

http://wdc.kugi.kyoto-u.ac.jp/dst_realtime/

Updated: 2023/07/20-23:59 UTC

Los índices Dst y ΔH miden las variaciones temporales de la componente horizontal del campo geomagnético, el primero a escala planetaria y el segundo para México.

Estas variaciones, en general, se deben al ingreso de partículas cargadas, provenientes del espacio exterior, al ambiente espacial terrestre.

Ionósfera sobre México: TEC en el centro del país

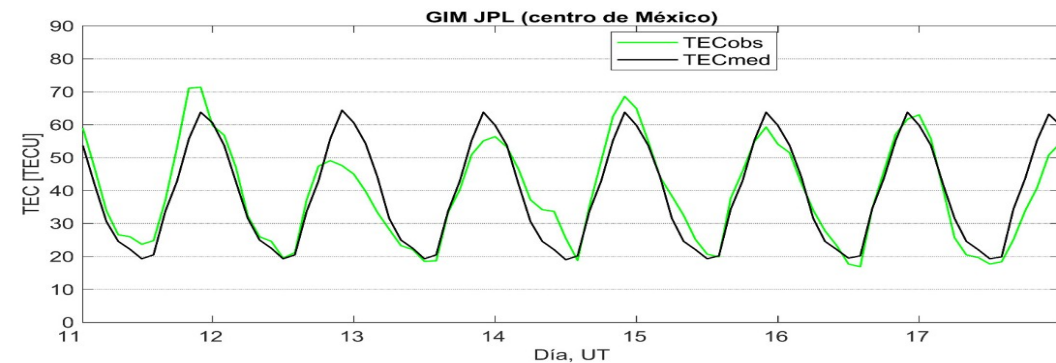
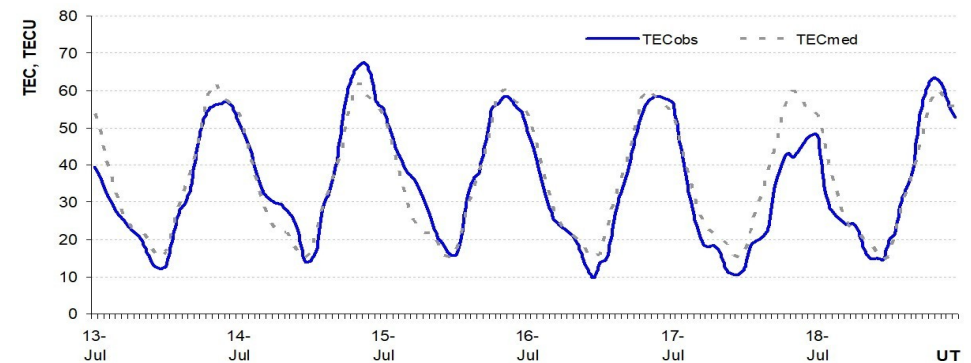
El contenido total de electrones (TEC) es un parámetro que sirve para caracterizar el estado de la ionosfera de la Tierra.

Series temporales de los valores de TEC (TECobs) con referencia a su valor mediano (TECmed) obtenidas de:

1) Estación local UCOE, receptor ubicado en las instalaciones del MEXART

El cálculo se realiza en base del software "TayAbsTEC" del Instituto de Física Solar-Terrestre, SB RAS. Referencia: Yasyukevich et al., 2015, doi: 10.1134/S001679321506016X.

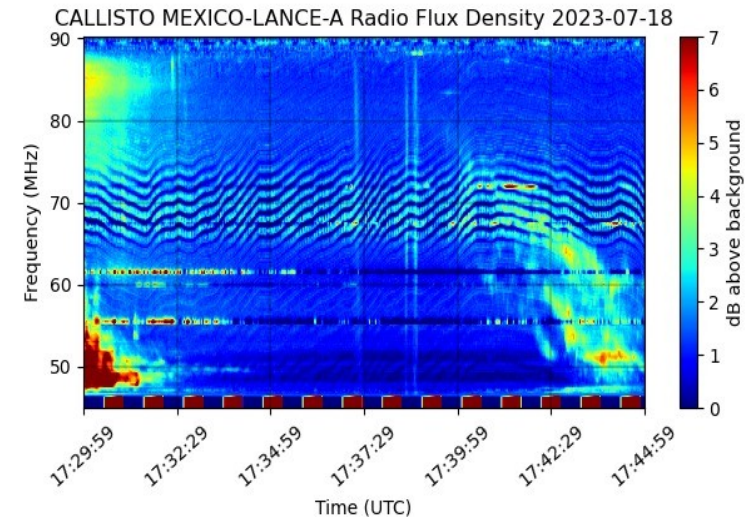
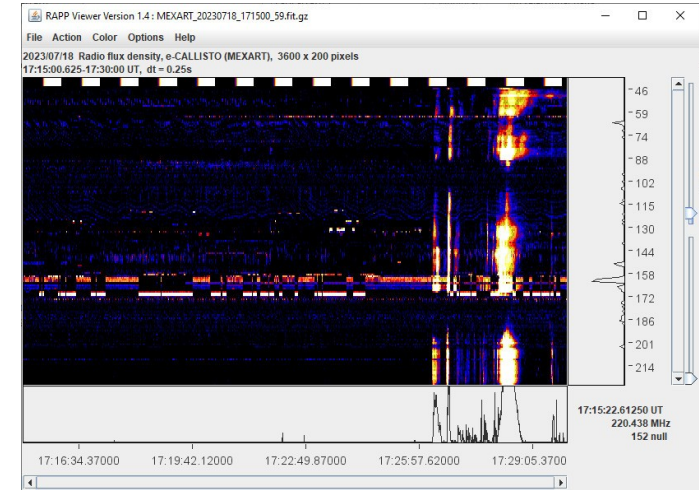
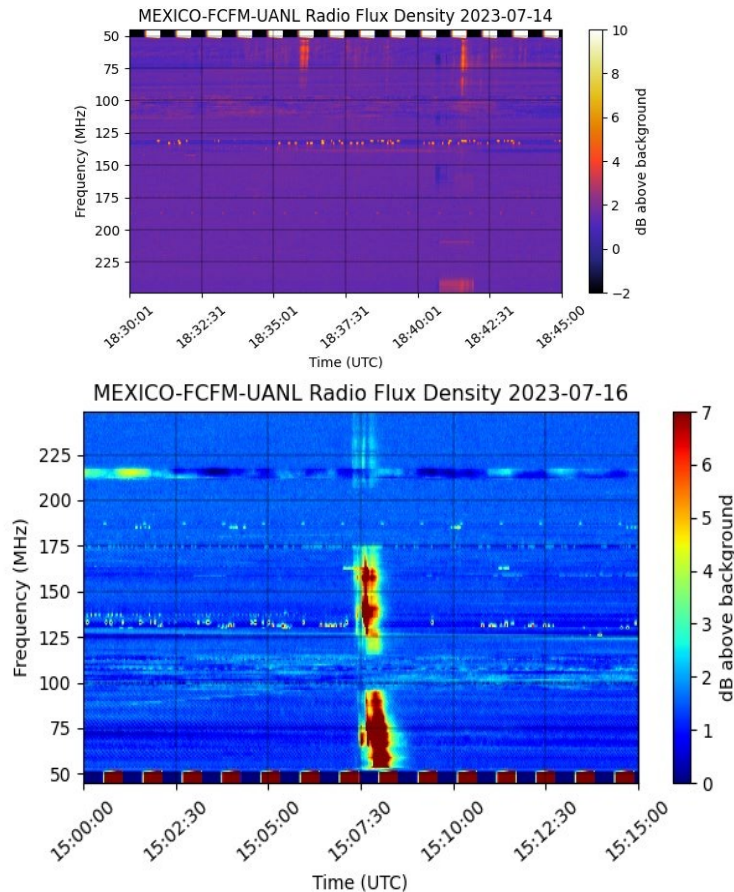
2) Mapas ionosféricos globales (GIM JPL)



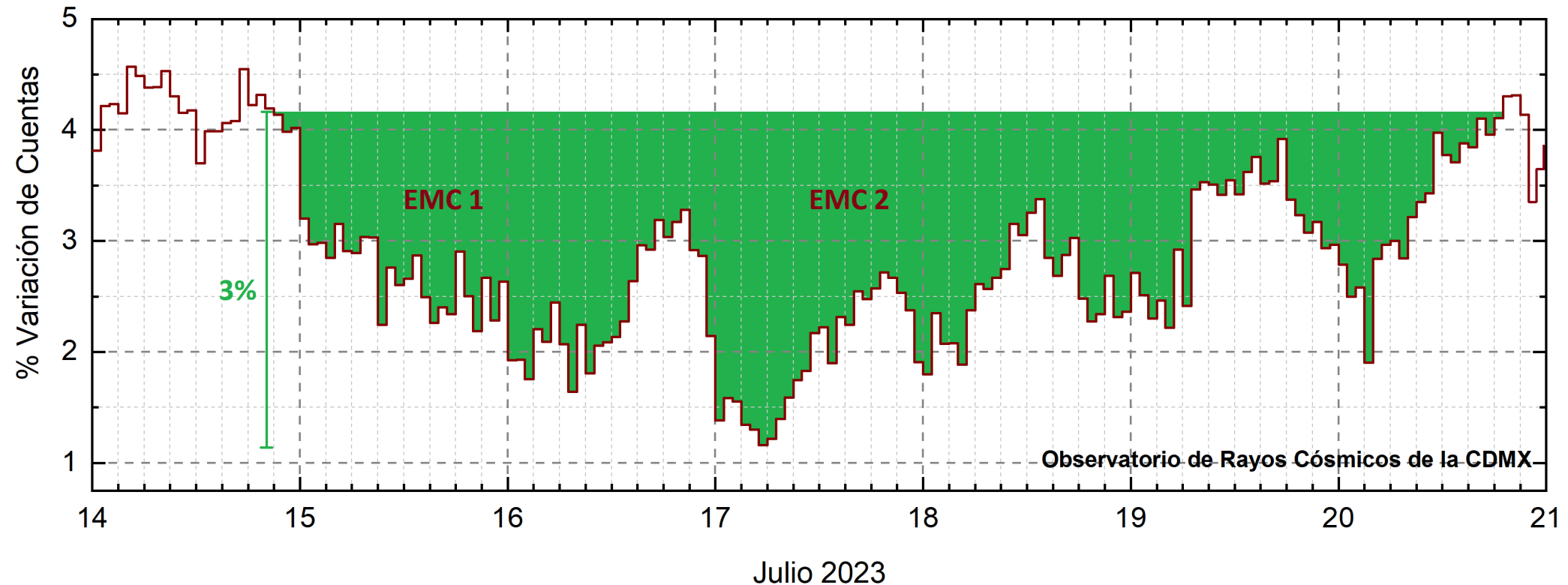
Esta semana se observaron valores disminuidos de TEC (el 13 y 17 de julio). Estas variaciones no son significativas.

Estallidos de radio solares: Observaciones de la REC-Mx

En esta semana la Red de Espectrómetros Callisto de México (REC-Mx) detectó 25 estallidos de radio Tipo III, 6 Tipo II, 11 Tipo V y uno Tipo IV.



Rayos Cósmicos:



<http://www.cosmicrays.unam.mx/>

Datos registrados por el Observatorio de Rayos Cósmicos de la Ciudad de México. Del 14 al 20 de julio se registró un decrecimiento Forbush (dF) debido al impacto de dos EMC. El dF inició el 14 a las 20 hrs TU y terminó el 20 a las 19 hrs TU. El área coloreada en verde representa la caída en las cuentas de rayos cósmicos detectados en la CDMX, que alcanzó el 3%.

Rayos Cósmicos:

Un decrecimiento Forbush es una intensa caída en las cuentas de rayos cósmicos galácticos registrados por los observatorios en Tierra. Este fenómeno se produce porque los rayos cósmicos son desviados por las líneas de campo magnético asociadas a la tormenta solar.

Como los rayos cósmicos son, en su inmensa mayoría, partículas cargadas, siguen y giran alrededor de estas líneas de campo magnético en función a su energía y son desviados de su trayectoria original. De este modo, los menos energéticos no llegan a la Tierra, provocando una rápida caída en el flujo detectado por los observatorios y con una recuperación gradual en función a los parámetros físicos de la tormenta solar.

UNAM/LANCE/SCIEMEX

Dr. J. Américo González Esparza

Dr. Pedro Corona Romero

Dra. María Sergeeva

Dr. Julio C. Mejía Ambriz

Dr. Luis Xavier González Méndez

Dr. José Juan González Avilés

Ing. Ernesto Andrade Mascote

M.C. Pablo Villanueva Hernández

Dr. Ernesto Aguilar-Rodríguez

Dra. Verónica Ontiveros

Dra. Tania Oyuki Chang Martínez

Dr. Víctor José Gatica Acevedo

Dra. Ángela Melgarejo Morales

Isaac David Orrala Legorreta

UNAM ENES-Morelia

Dr. Mario Rodríguez Martínez

M.C. Raúl Gutiérrez Zalapa

Ing. Ariana Varela Mendez

Mateo Peralta Mondragón

Jaquelin Mejía Orozco

Grace Diane Jiménez González

UNAM/PCT

Dra. Elsa Sánchez García

M.C. Carlos Arturo Pérez Alanís

M.C. Isaac Castellanos Velasco

UANL/LANCE

Dr. Eduardo Pérez Tijerina

Dra. Esmeralda Romero Hernández

UNAM/IGF/RAYOS CÓSMICOS

Dr. José Francisco Valdés Galicia

Fis. Alejandro Hurtado Pizano

Ing. Octavio Musalem Clemente

SERVICIO MAGNÉTICO

M.C. Esteban Hernández Quintero

M.C. Gerardo Cifuentes Nava

Dra. Ana Caccavari Garza

GPCEET/SAET-IPN

Ing. Julio César Villagrán Orihuela

Miguel Daniel González Arias

Carlos Escamilla León

Pablo Romero Minchaca

Alfonso Iván Verduzco Torres

Claudia López Martínez

Ana María Ramírez Reyes

Emiliano Campos Castañeda

Elaboración: Luis Xavier González Méndez

Revisión: Ernesto Aguilar Rodríguez

Agradecimientos

El Laboratorio Nacional de Clima Espacial (LANCE) es parcialmente financiado por: el programa Cátedras CONACYT Proyecto 1045 y el Fondo Sectorial AEM-CONACYT proyecto 2014-01-247722. Agradecemos al proyecto Conacyt – Repositorio Institucional de Clima Espacial 268273. Agradecemos al proyecto AEM-2018-01-A3-S-63804 del Fondo Sectorial CONACYT-AEM. Agradecemos a todos los responsables y colaboradores de instrumentos del LANCE y a las redes de estaciones GPS del Servicio Sismológico Nacional y TlalocNET por facilitar sus datos. Agradecemos a Gerardo Cifuentes, Esteban Hernández y Ana Caccavari por los datos del Observatorio Magnético de Teoloyucan. De igual forma, agradecemos los servicios de IGS (International GNSS Service) por permitirnos usar los datos IONEX disponibles en: <https://cddis.nasa.gov/archive/gnss/products/ionex>. Los valores de TEC fueron obtenidos a partir de observaciones de las redes GPS del Servicio Sismológico Nacional (SSN), SSN-TLALOCNet y TLALOCNet del Servicio de Geodesia Satelital (SGS). Agradecemos al personal del SSN y del SGS por el mantenimiento de estaciones, la adquisición de datos y el soporte de IT de estas redes. Las operaciones de la red TLALOCNet y SSN-TLALOCNet GPS han sido apoyadas por The National Science Foundation bajo el proyecto EAR-1338091 a UNAVCO Inc., los proyectos CONACyT 253760 y 256012 y los proyectos UNAM-PAPIIT IN109315-3 y IN104818-3 de E. Cabral-Cano y el proyecto UNAM-PAPIIT IN111509 de R. Pérez. De igual forma, agradecemos a los proyectos de infraestructura del CONACyT: 253691 y del PAPIIT-DGAPA: IA107116 para el fortalecimiento de equipos como la estación fija de GPS, que forman parte del LACIGE-UNAM, de la ENES unidad Morelia a cargo de M. Rodríguez-Martínez, El cálculo de TEC se realiza: 1) utilizando el software US-TEC que es un producto de operación del Space Weather Prediction Center (SWPC), desarrollado a través de una colaboración entre National Geodetic Survey, National Oceanic and Atmospheric Administration (NOAA) y el Cooperative Institute for Research in Environmental Sciences of the University of Boulder, Colorado, 2) con base en el software TayAbsTEC del Instituto de Física Solar-Terrestre, sección Siberiana de la Academia de Ciencias Rusa. Parte del procesamiento de datos se lleva a cabo dentro del centro de Supercómputo de Clima Espacial (CESCOM) del LANCE. Así mismo agradecemos al Space Weather Forecasting Center for Astrophysics & Space Research de la University of California in San Diego y al Korean Space Weather Center por los datos de pronóstico para los modelos WSA-ENLIL y los mapas tomográficos por IPS. Agradecemos a la red e-callisto por los datos proporcionados de espectros electromagnéticos dinámicos de la red internacional de registro de eventos de radio solares.

Datos

Imágenes de coronógrafo, flujo de rayos X y modelo WSA-ENLIL:

<http://www.swpc.noaa.gov/products>

<http://iswa.ccmc.gsfc.nasa.gov/IswaSystemWebApp/>

Imágenes de coronógrafo:

<http://sohowww.nascom.nasa.gov/data/>

Imágenes del disco solar y de la fulguración:

<http://www.solarmonitor.org/>

Detección y caracterización de EMCs:

<http://www.sidc.oma.be/cactus/out/latestCMEs.html>

<http://spaceweather.gmu.edu/seeds/>

ISES:

<http://www.spaceweather.org/>

International Network of Solar Radio Spectrometers (e-callisto):

<http://www.e-callisto.org/>

German Research Center For Geosciences Postdam:

<http://www.gfz-potsdam.de/en/sektion/erdmagnetfeld/daten-dienst/e/kp-index/>

Data Analysis Center for Geomagnetism and Space Magnetism, Kyoto University:

<http://wdc.kugi.kyoto-u.ac.jp/index.html>

UNAVCO:

<http://www.unavco.org>

SSN:

<http://www.sismologico.unam.mx/>

SOHO Spacecraft NASA:

<http://sohowww.nascom.nasa.gov/>

SDO Spacecraft NASA:

<http://sdo.gsfc.nasa.gov/>

Space Weather Prediction Center NOAA:

<http://www.swpc.noaa.gov>

GOES Spacecraft NOAA:

<http://www.ngdc.noaa.gov/stp/satellite/goes/index.html>

ACE Spacecraft NOAA

<http://www.srl.caltech.edu/ACE/ASC/index.html>